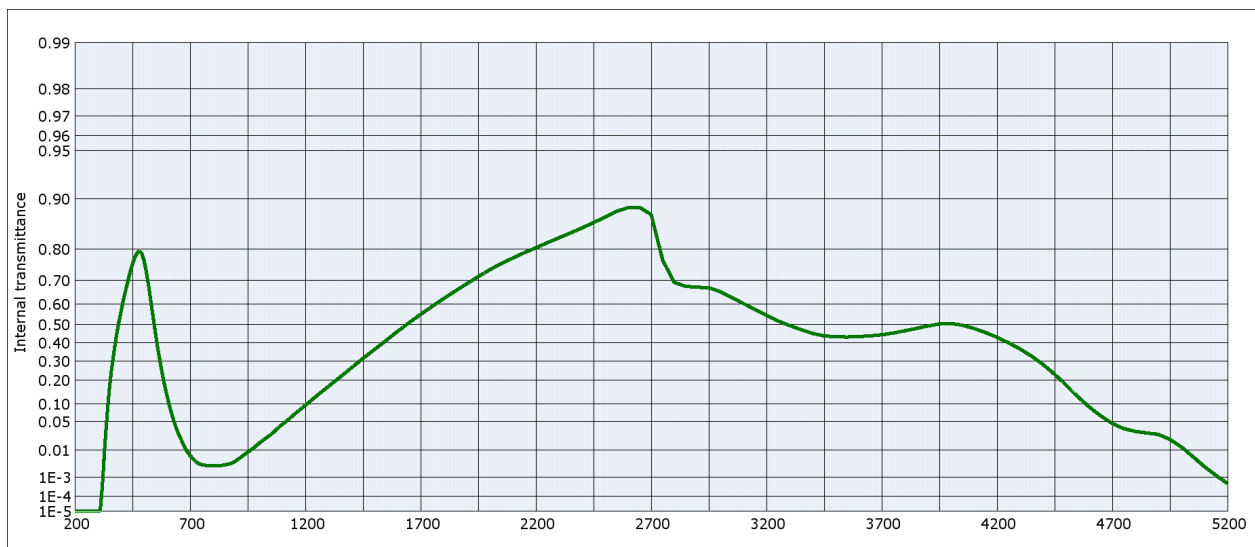


BG7

SCHOTT



Internal transmittance τ_i at reference thickness $d = 1$ mm											
The internal transmittance values, tabulated and graphically represented, are reference values only											
λ [nm]	τ_i	λ [nm]	τ_i	λ [nm]	τ_i	λ [nm]	τ_i	λ [nm]	τ_i	λ [nm]	τ_i
200	$< 10^{-5}$	500	0.767	800	$3.0 \cdot 10^{-3}$	1100	$4.4 \cdot 10^{-2}$	2200	0.803	3700	0.444
210	$< 10^{-5}$	510	0.730	810	$3.0 \cdot 10^{-3}$	1110	$4.8 \cdot 10^{-2}$	2250	0.816	3750	0.453
220	$< 10^{-5}$	520	0.679	820	$3.0 \cdot 10^{-3}$	1120	$5.2 \cdot 10^{-2}$	2300	0.827	3800	0.465
230	$< 10^{-5}$	530	0.611	830	$3.0 \cdot 10^{-3}$	1130	$5.6 \cdot 10^{-2}$	2350	0.839	3850	0.478
240	$< 10^{-5}$	540	0.535	840	$3.1 \cdot 10^{-3}$	1140	$6.2 \cdot 10^{-2}$	2400	0.849	3900	0.490
250	$< 10^{-5}$	550	0.450	850	$3.2 \cdot 10^{-3}$	1150	$6.7 \cdot 10^{-2}$	2450	0.860	3950	0.501
260	$< 10^{-5}$	560	0.369	860	$3.4 \cdot 10^{-3}$	1160	$7.3 \cdot 10^{-2}$	2500	0.870	4000	0.503
270	$< 10^{-5}$	570	0.295	870	$3.5 \cdot 10^{-3}$	1170	$7.8 \cdot 10^{-2}$	2550	0.881	4050	0.495
280	$< 10^{-5}$	580	0.229	880	$3.7 \cdot 10^{-3}$	1180	$8.4 \cdot 10^{-2}$	2600	0.887	4100	0.478
290	$< 10^{-5}$	590	0.174	890	$4.1 \cdot 10^{-3}$	1190	$9.0 \cdot 10^{-2}$	2650	0.887	4150	0.456
300	$< 10^{-5}$	600	0.131	900	$4.6 \cdot 10^{-3}$	1200	$9.6 \cdot 10^{-2}$	2700	0.875	4200	0.430
310	$< 10^{-5}$	610	$9.6 \cdot 10^{-2}$	910	$5.3 \cdot 10^{-3}$	1250	0.132	2750	0.767	4250	0.400
320	$4.7 \cdot 10^{-4}$	620	$7.0 \cdot 10^{-2}$	920	$6.0 \cdot 10^{-3}$	1300	0.171	2800	0.691	4300	0.366
330	$1.3 \cdot 10^{-2}$	630	$5.1 \cdot 10^{-2}$	930	$6.8 \cdot 10^{-3}$	1350	0.215	2850	0.675	4350	0.326
340	$6.6 \cdot 10^{-2}$	640	$3.7 \cdot 10^{-2}$	940	$7.7 \cdot 10^{-3}$	1400	0.263	2900	0.672	4400	0.281
350	0.160	650	$2.7 \cdot 10^{-2}$	950	$8.7 \cdot 10^{-3}$	1450	0.314	2950	0.670	4450	0.230
360	0.260	660	$2.1 \cdot 10^{-2}$	960	$9.8 \cdot 10^{-3}$	1500	0.363	3000	0.654	4500	0.177
370	0.349	670	$1.5 \cdot 10^{-2}$	970	$1.1 \cdot 10^{-2}$	1550	0.413	3050	0.628	4550	0.128
380	0.435	680	$1.1 \cdot 10^{-2}$	980	$1.2 \cdot 10^{-2}$	1600	0.462	3100	0.602	4600	$9.0 \cdot 10^{-2}$
390	0.504	690	$8.6 \cdot 10^{-3}$	990	$1.4 \cdot 10^{-2}$	1650	0.508	3150	0.574	4650	$6.4 \cdot 10^{-2}$
400	0.561	700	$6.9 \cdot 10^{-3}$	1000	$1.6 \cdot 10^{-2}$	1700	0.550	3200	0.546	4700	$4.6 \cdot 10^{-2}$
410	0.614	710	$5.6 \cdot 10^{-3}$	1010	$1.8 \cdot 10^{-2}$	1750	0.589	3250	0.517	4750	$3.6 \cdot 10^{-2}$
420	0.657	720	$4.7 \cdot 10^{-3}$	1020	$2.0 \cdot 10^{-2}$	1800	0.624	3300	0.493	4800	$3.1 \cdot 10^{-2}$
430	0.695	730	$4.0 \cdot 10^{-3}$	1030	$2.2 \cdot 10^{-2}$	1850	0.656	3350	0.472	4850	$2.9 \cdot 10^{-2}$
440	0.728	740	$3.6 \cdot 10^{-3}$	1040	$2.4 \cdot 10^{-2}$	1900	0.685	3400	0.451	4900	$2.7 \cdot 10^{-2}$
450	0.754	750	$3.3 \cdot 10^{-3}$	1050	$2.6 \cdot 10^{-2}$	1950	0.712	3450	0.438	4950	$2.0 \cdot 10^{-2}$
460	0.776	760	$3.2 \cdot 10^{-3}$	1060	$2.9 \cdot 10^{-2}$	2000	0.737	3500	0.433	5000	$1.3 \cdot 10^{-2}$
470	0.788	770	$3.1 \cdot 10^{-3}$	1070	$3.3 \cdot 10^{-2}$	2050	0.757	3550	0.432	5050	$6.3 \cdot 10^{-3}$
480	0.794	780	$3.0 \cdot 10^{-3}$	1080	$3.6 \cdot 10^{-2}$	2100	0.774	3600	0.434	5100	$2.8 \cdot 10^{-3}$
490	0.788	790	$3.0 \cdot 10^{-3}$	1090	$4.1 \cdot 10^{-2}$	2150	0.789	3650	0.438	5150	$1.2 \cdot 10^{-3}$